

Fig. 1a

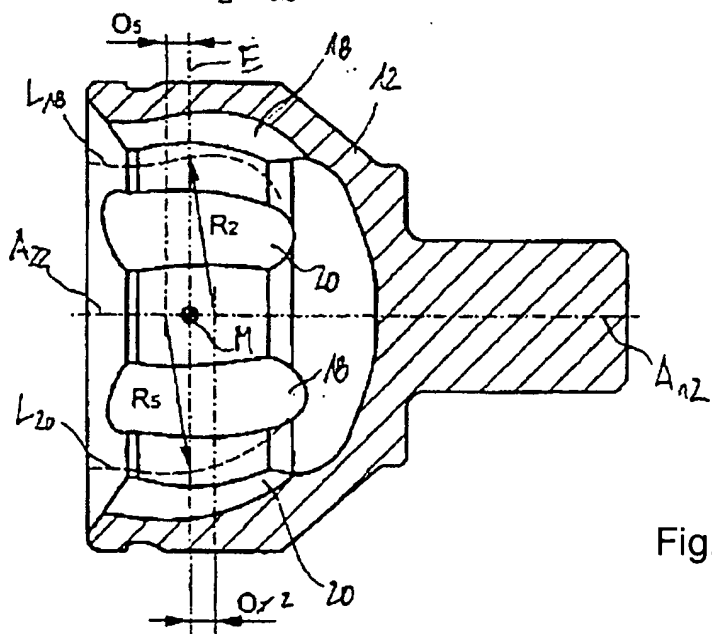


Fig. 1b

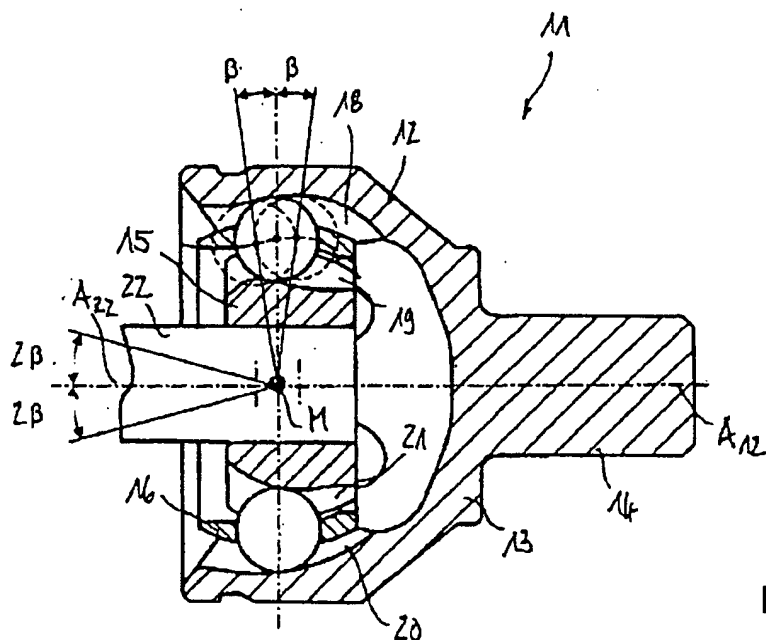


Fig. 2a

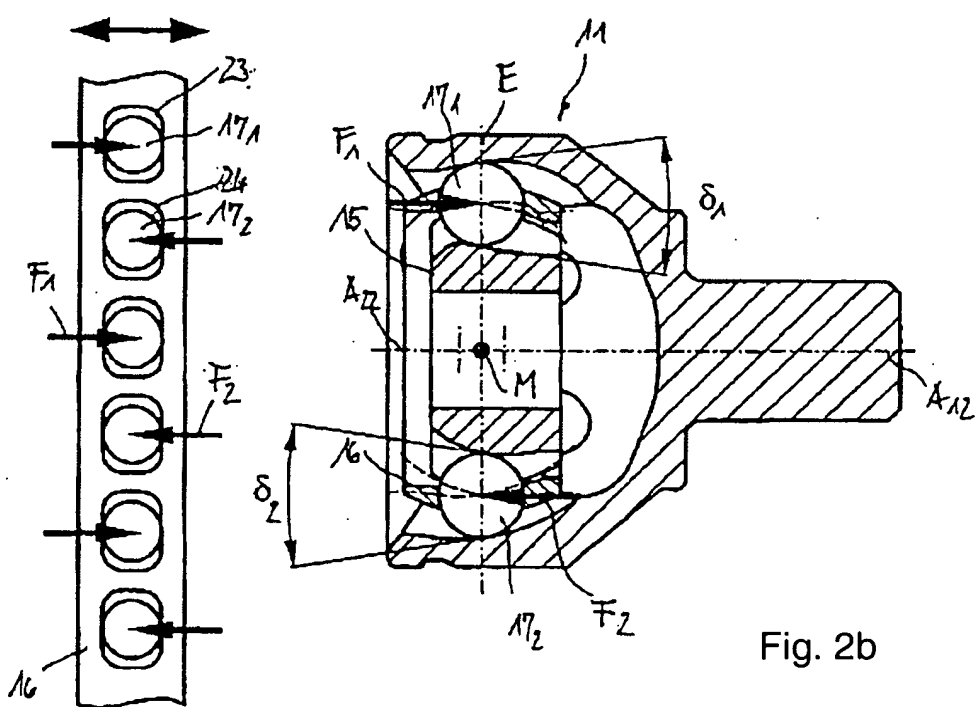


Fig. 2b

Fig. 2c

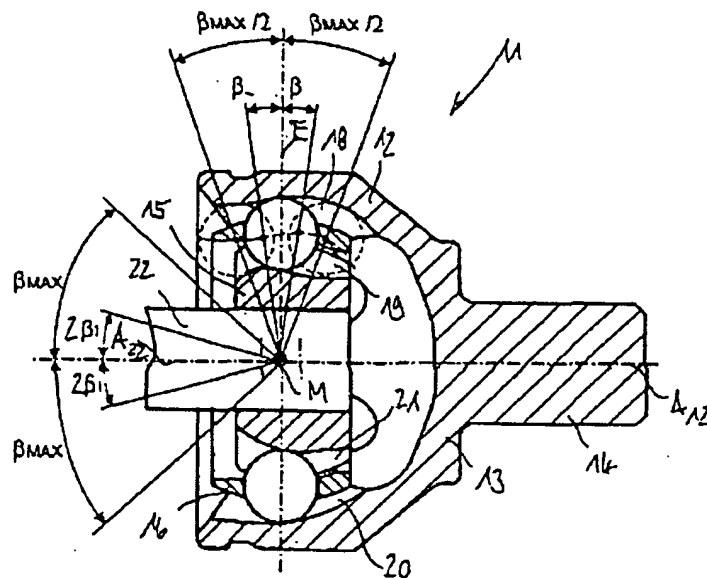


Fig. 3a

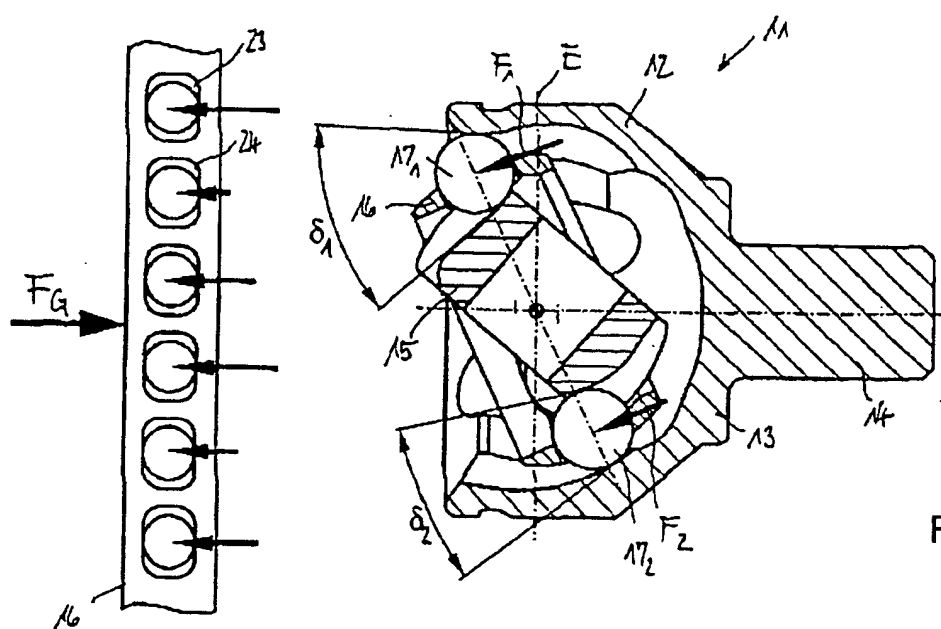


Fig. 3b

Fig. 3c

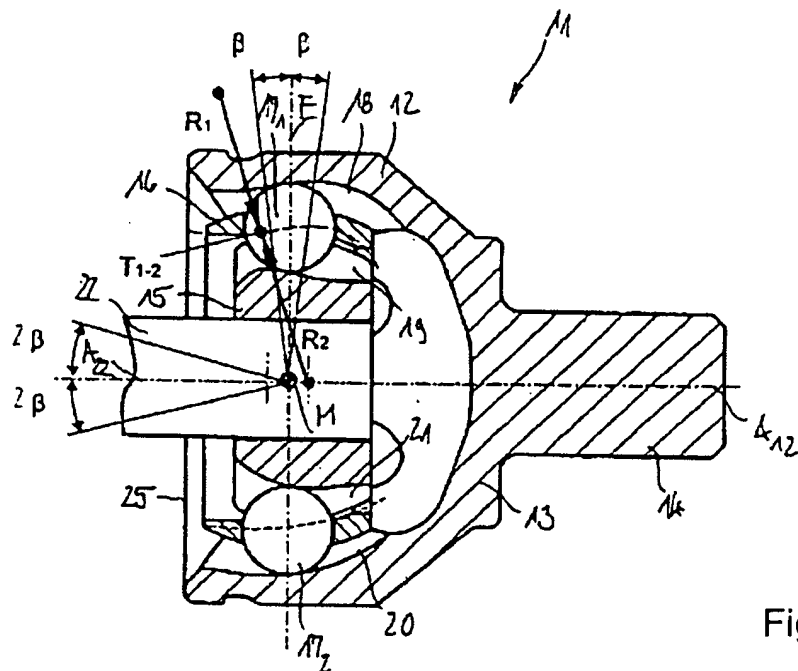


Fig. 4a

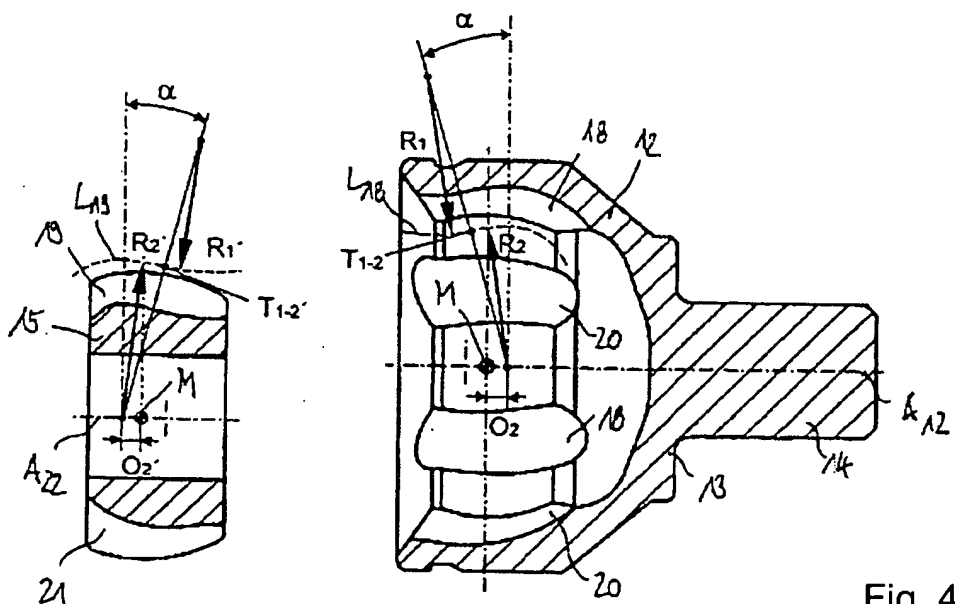
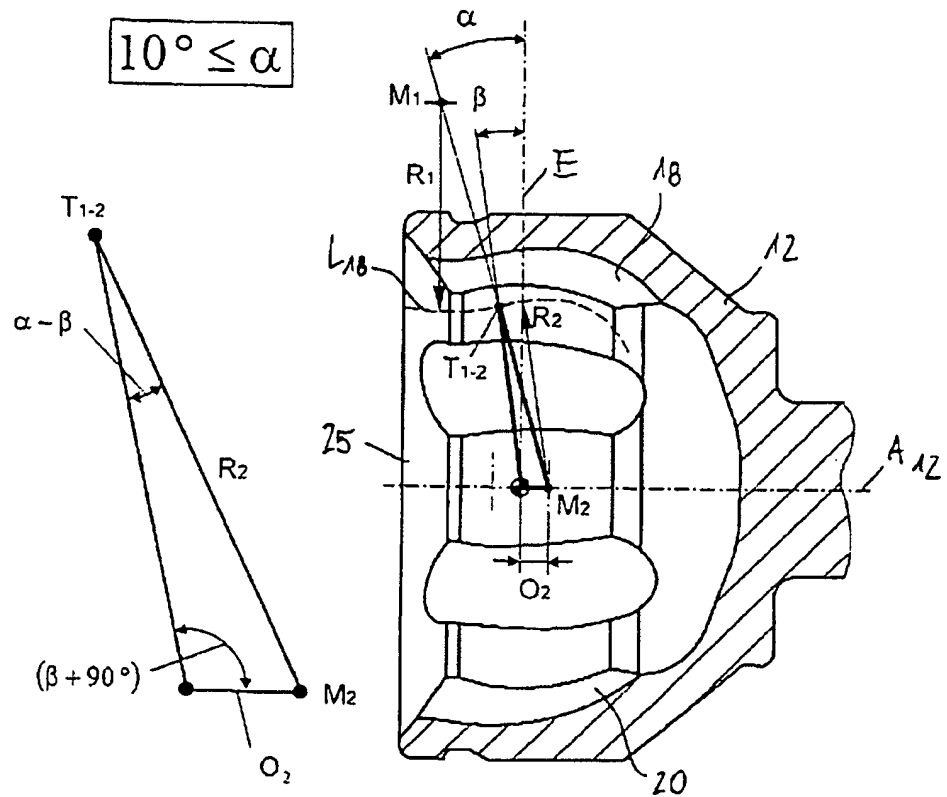


Fig. 4b

Fig. 4c



$$\alpha \geq \beta + \arcsin \left[ \frac{O_2}{R_2} \cdot \sin(\beta + 90^\circ) \right]$$

Fig. 5

$$\alpha \leq 17^\circ$$

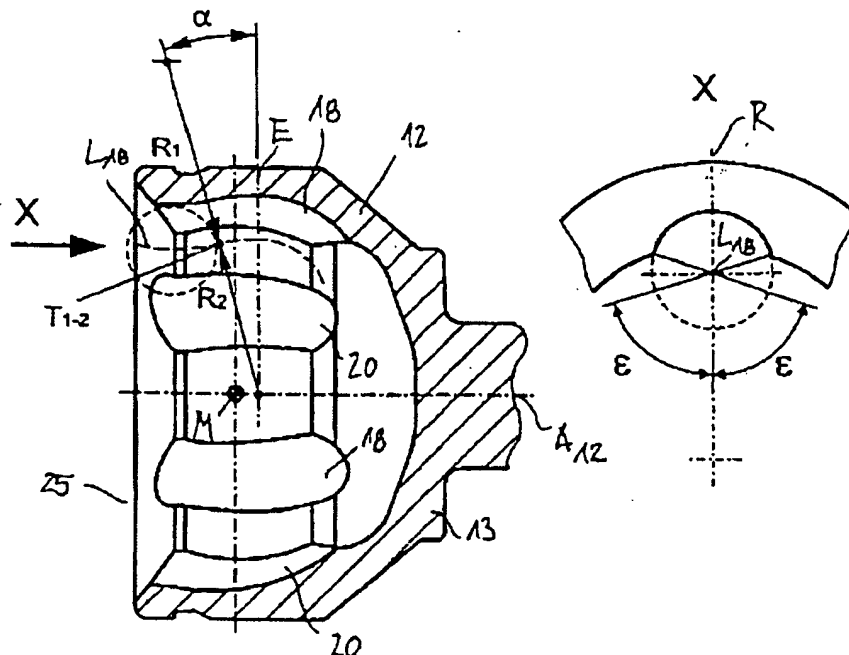
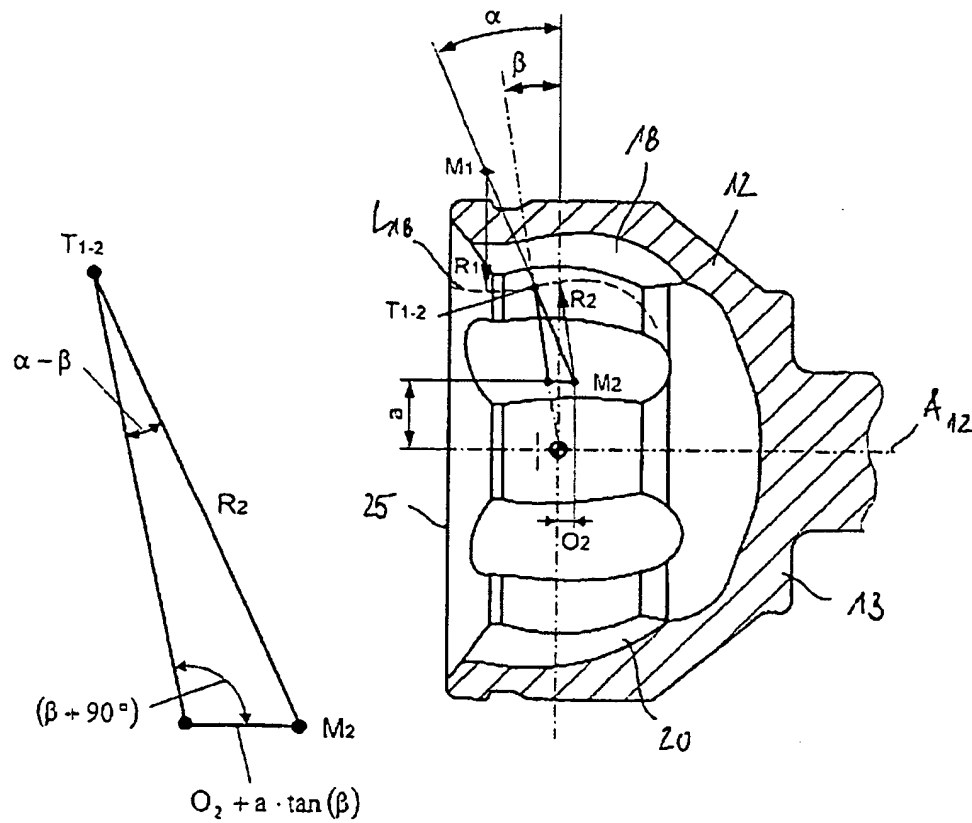


Fig. 6b

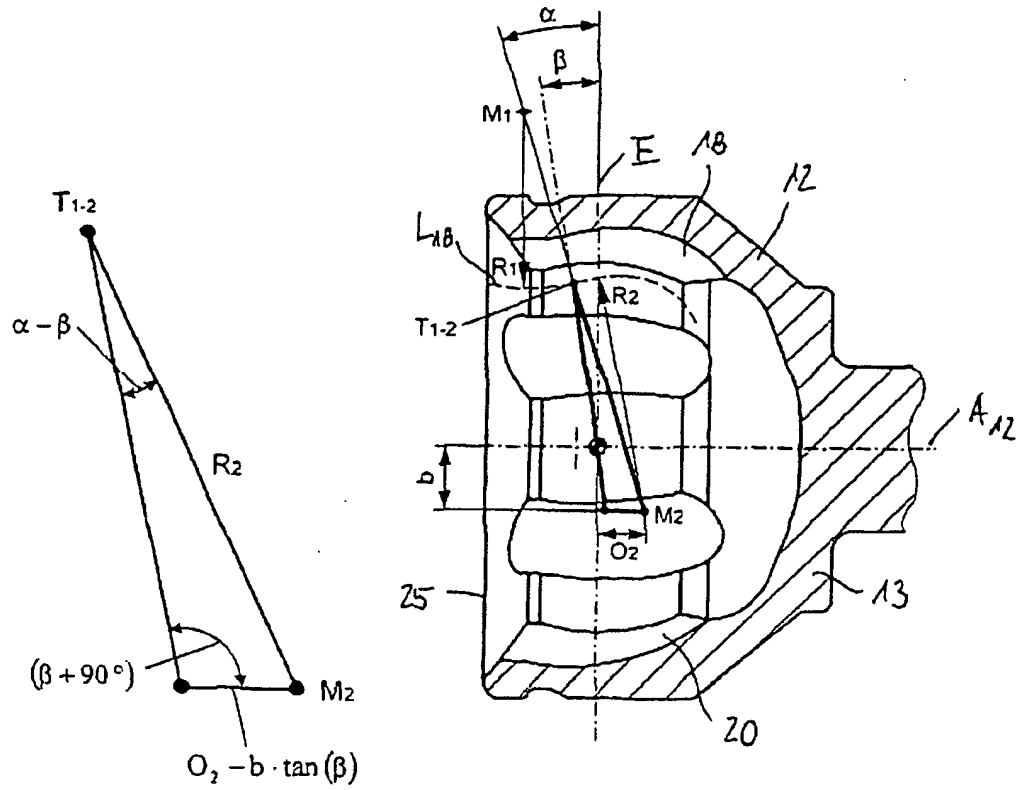
Fig. 6a

$\alpha$	$10^\circ$	$11^\circ$	$12^\circ$	$13^\circ$	$14^\circ$	$15^\circ$	$16^\circ$	$17^\circ$	$18^\circ$
$\epsilon$	++	++	++	++	++	+	+	-	--



$$\alpha \geq \beta + \arcsin \left[ \frac{O_2 + a \cdot \tan(\beta)}{R_2} \cdot \sin(\beta + 90^\circ) \right]$$

Fig. 7



$$\alpha \geq \beta + \arcsin \left[ \frac{O_2 - b \cdot \tan(\beta)}{R_2} \cdot \sin(\beta + 90^\circ) \right]$$

Fig. 8

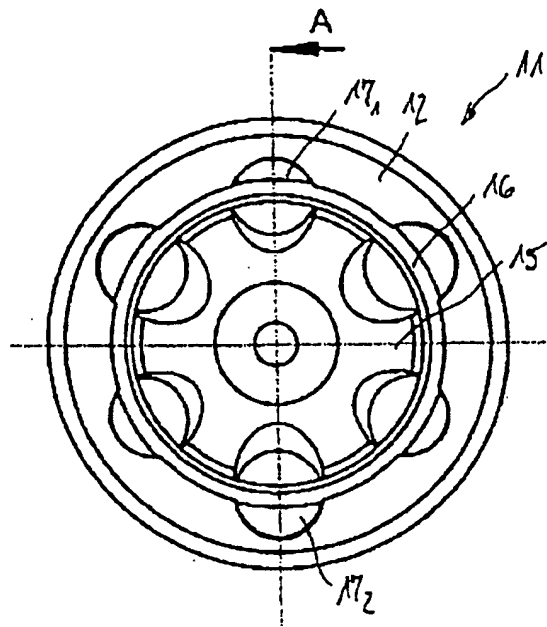


Fig. 9a

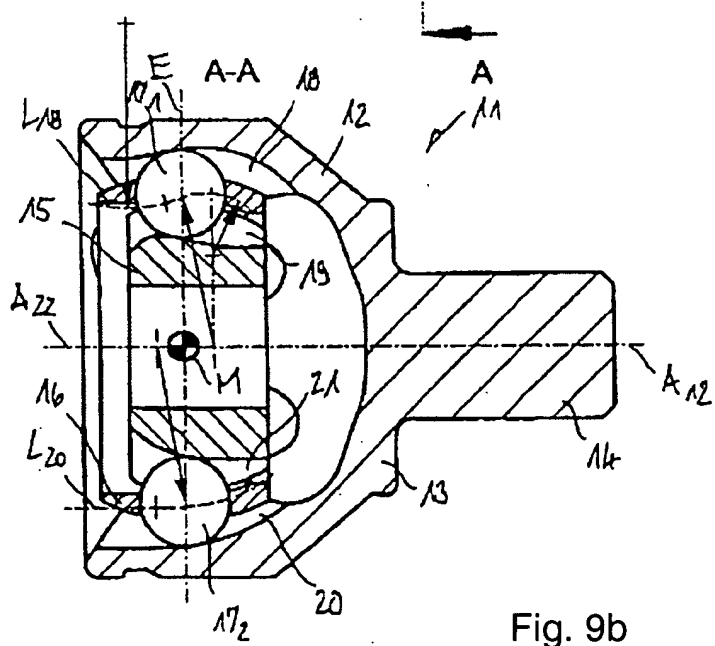


Fig. 9b

Fig. 10a

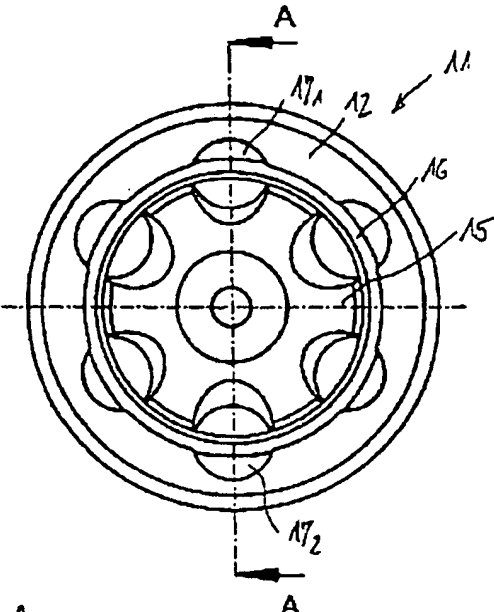
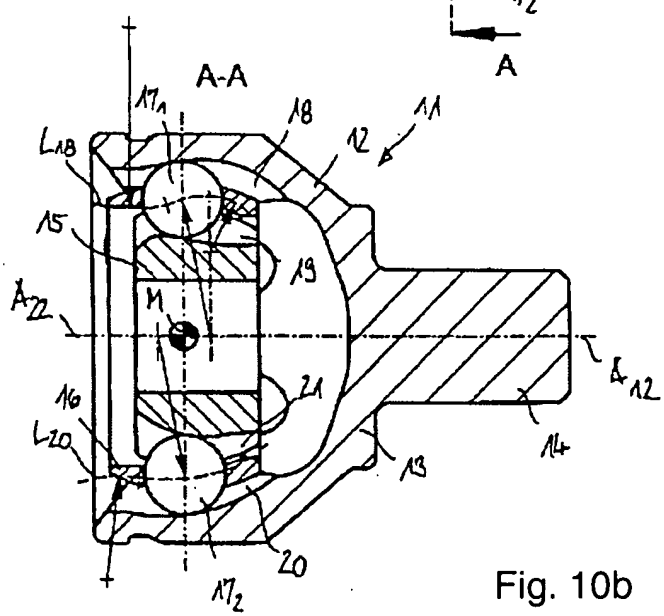


Fig. 10b



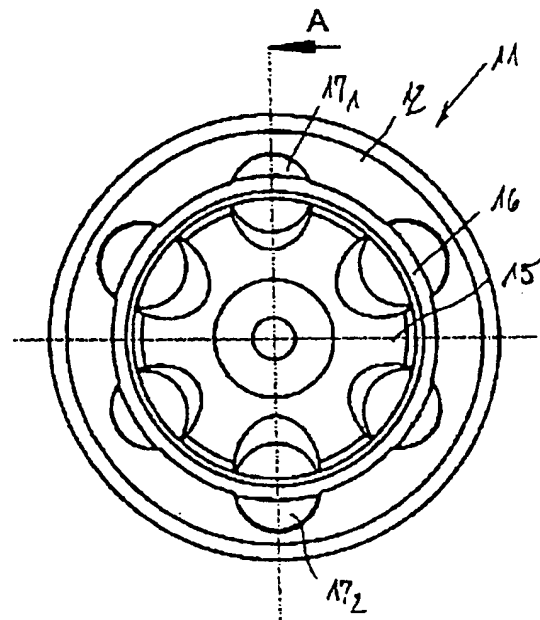


Fig. 11a

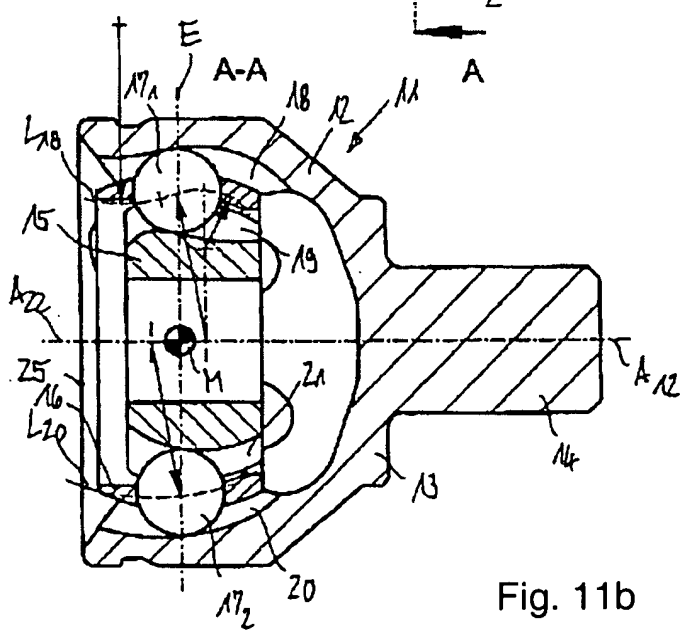


Fig. 11b

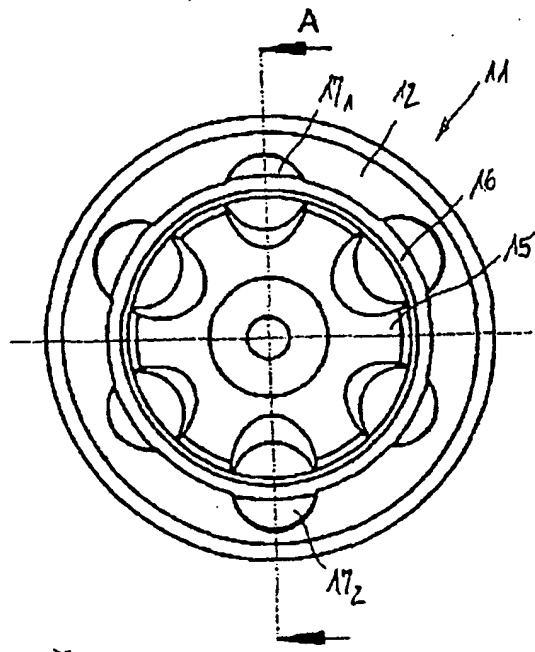


Fig. 12a

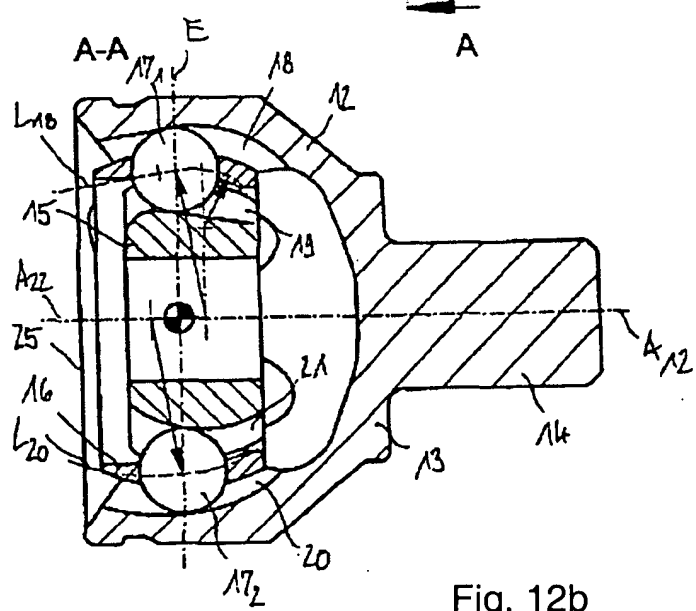
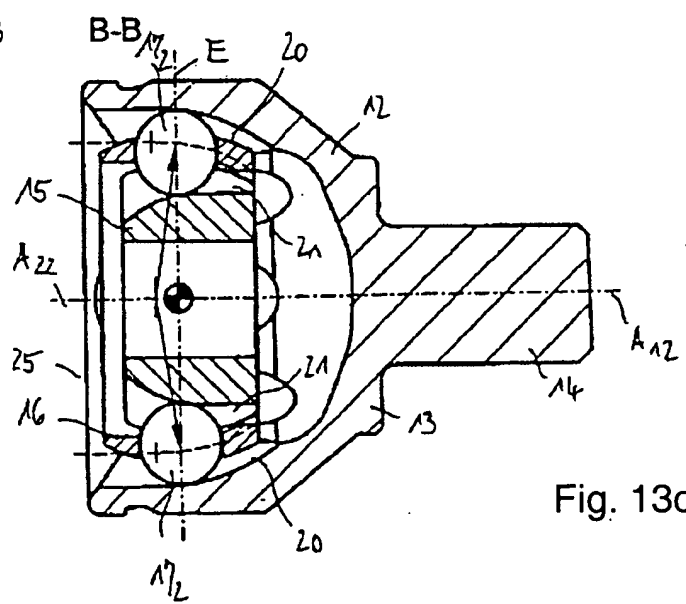
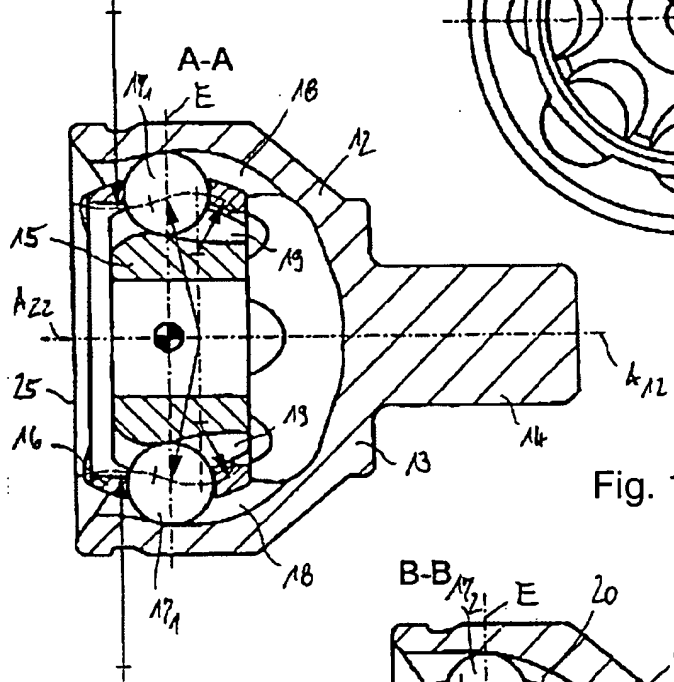
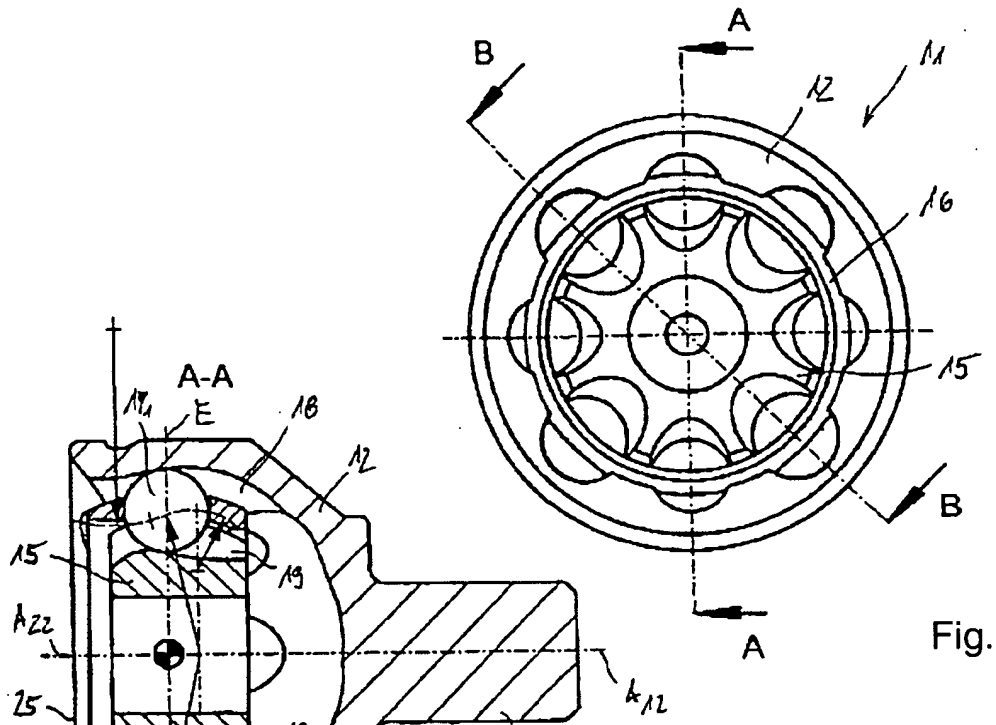


Fig. 12b



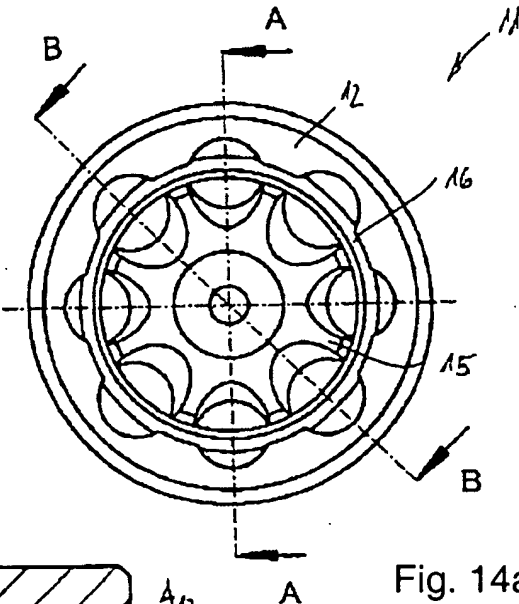


Fig. 14a

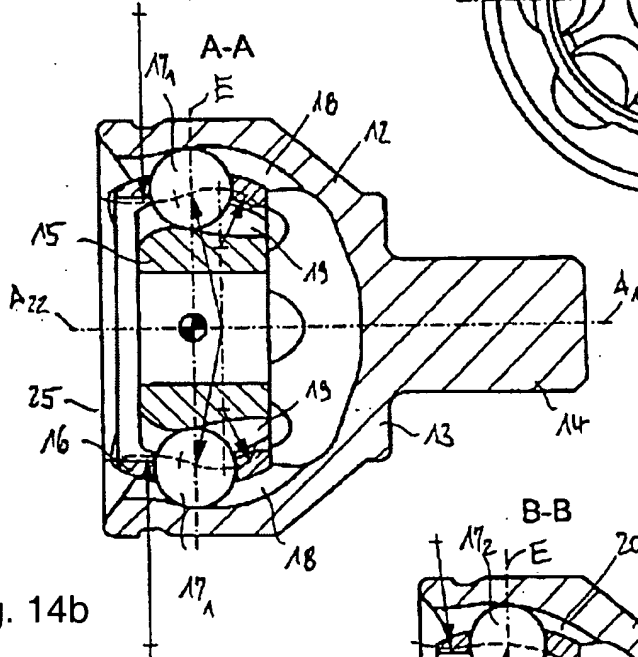


Fig. 14b

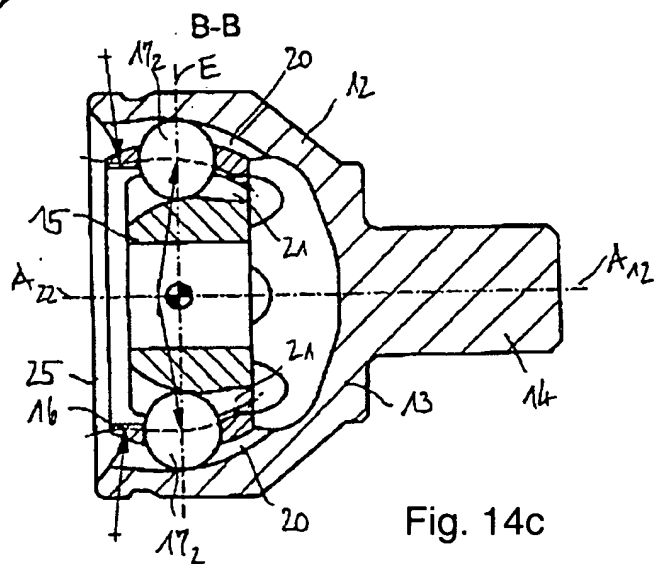


Fig. 14c

Fig. 15a

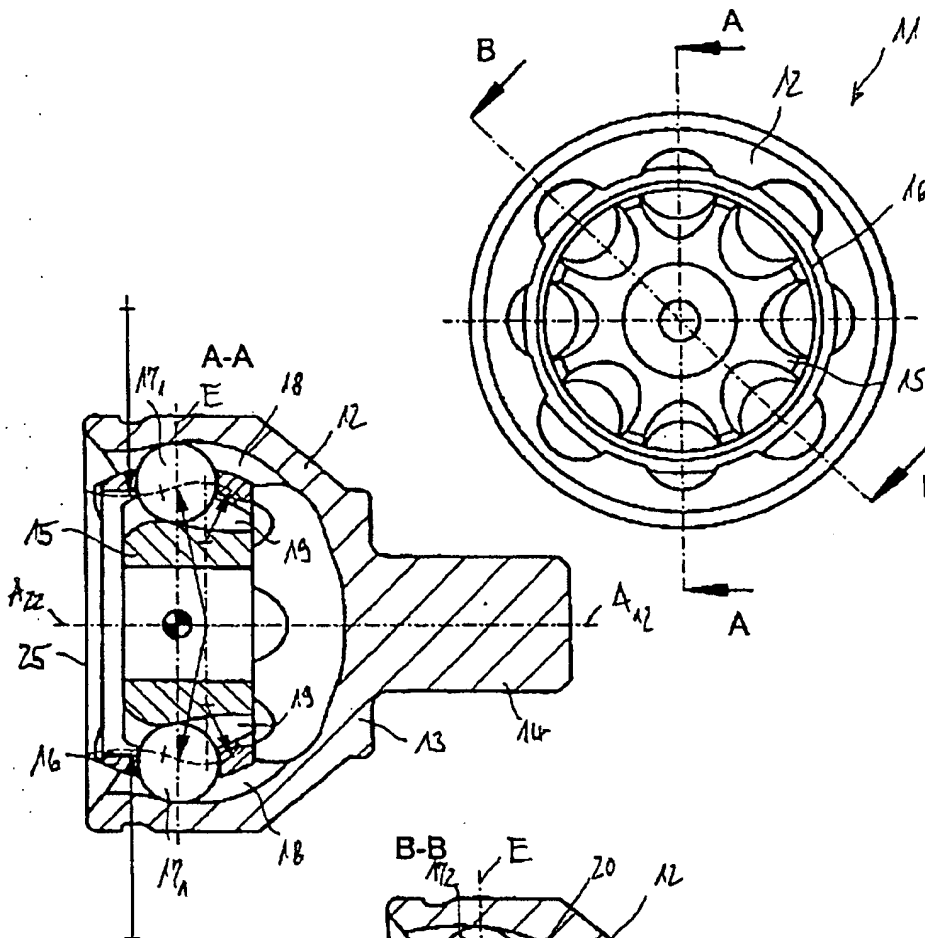


Fig. 15b

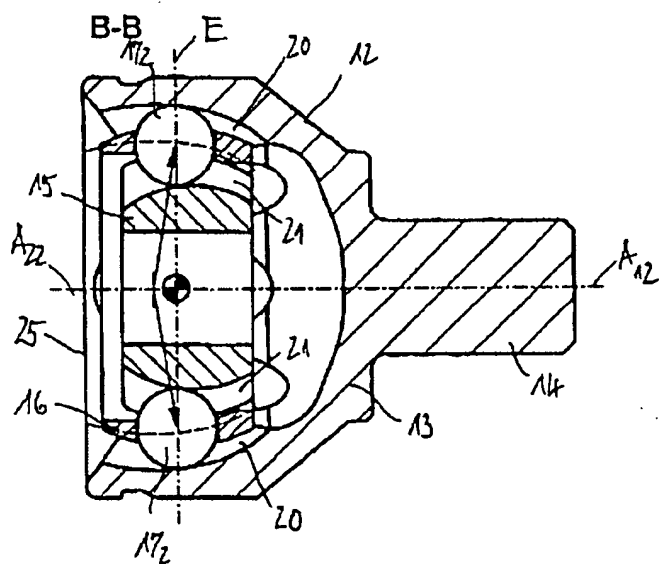


Fig. 15c

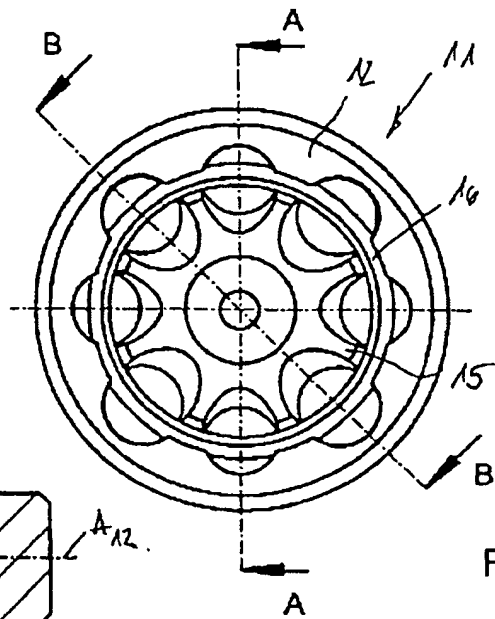


Fig. 16a

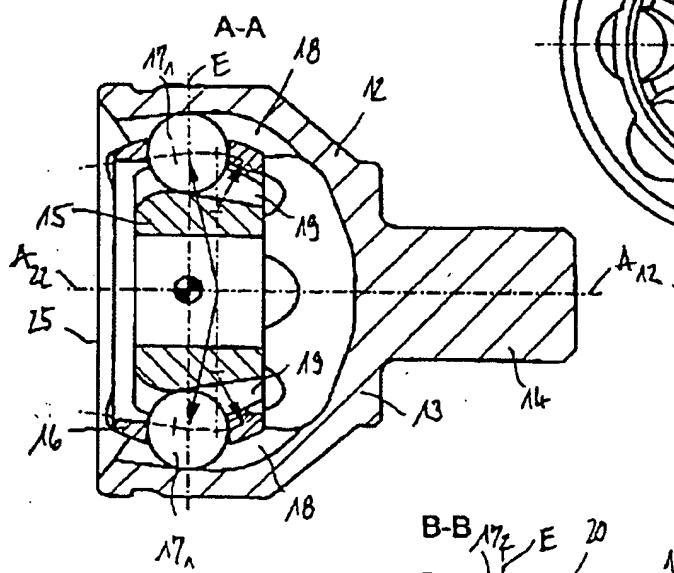


Fig. 16b

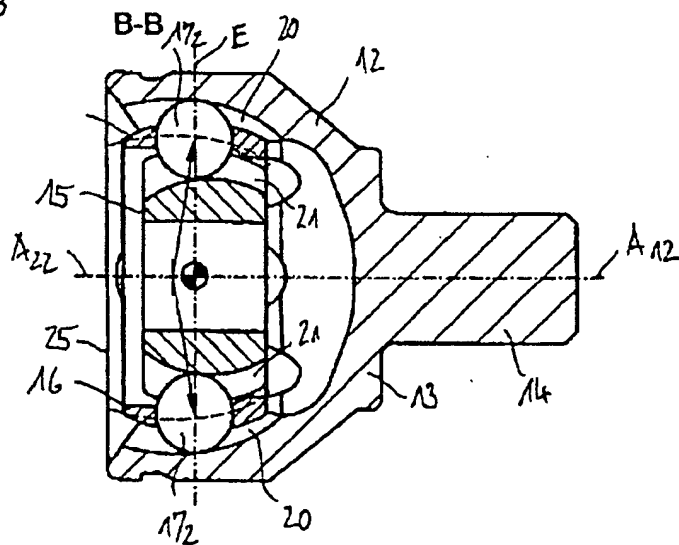
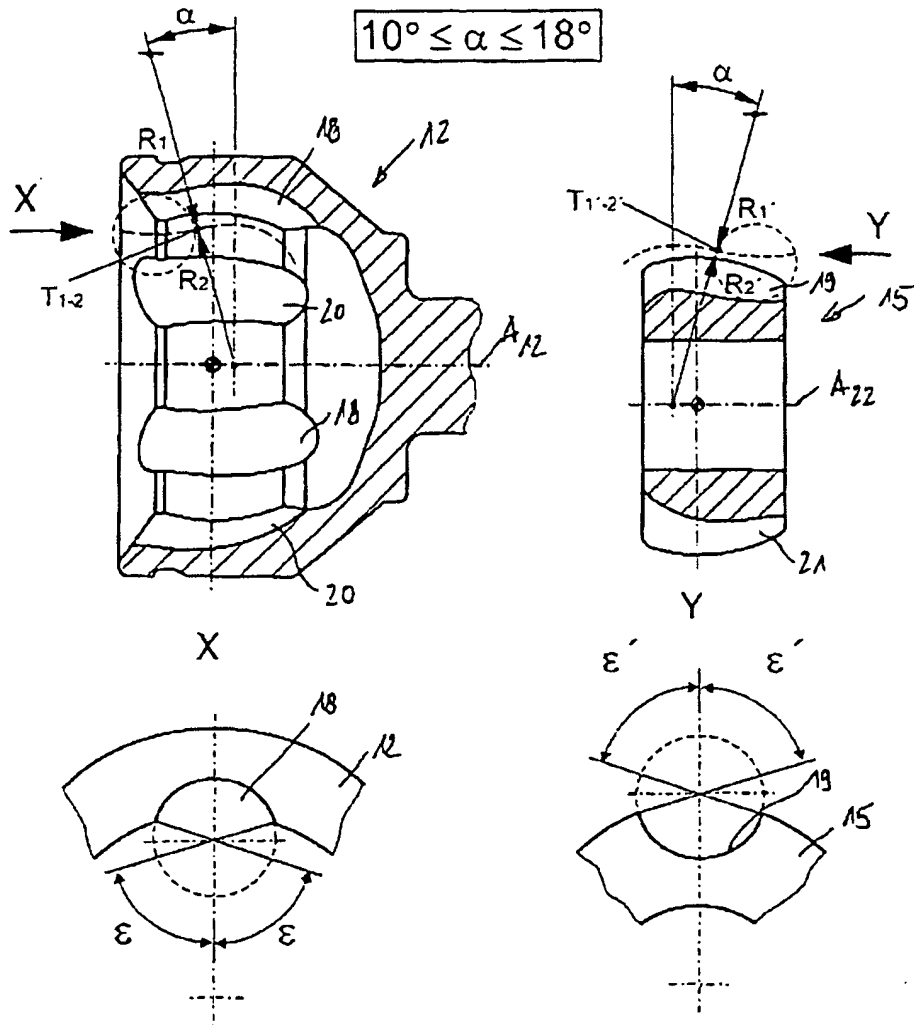


Fig. 16c



$\alpha$	10°	11°	12°	13°	14°	15°	16°	17°	18°
$\epsilon$	+	+	+	+	+	+	+	-	-
$\epsilon'$	+	+	+	+	+	+	+	-	-
$\epsilon$	-	-	+	+	+	+	+	+	+
$\epsilon'$	-	-	+	+	+	+	+	+	+

Fig. 17

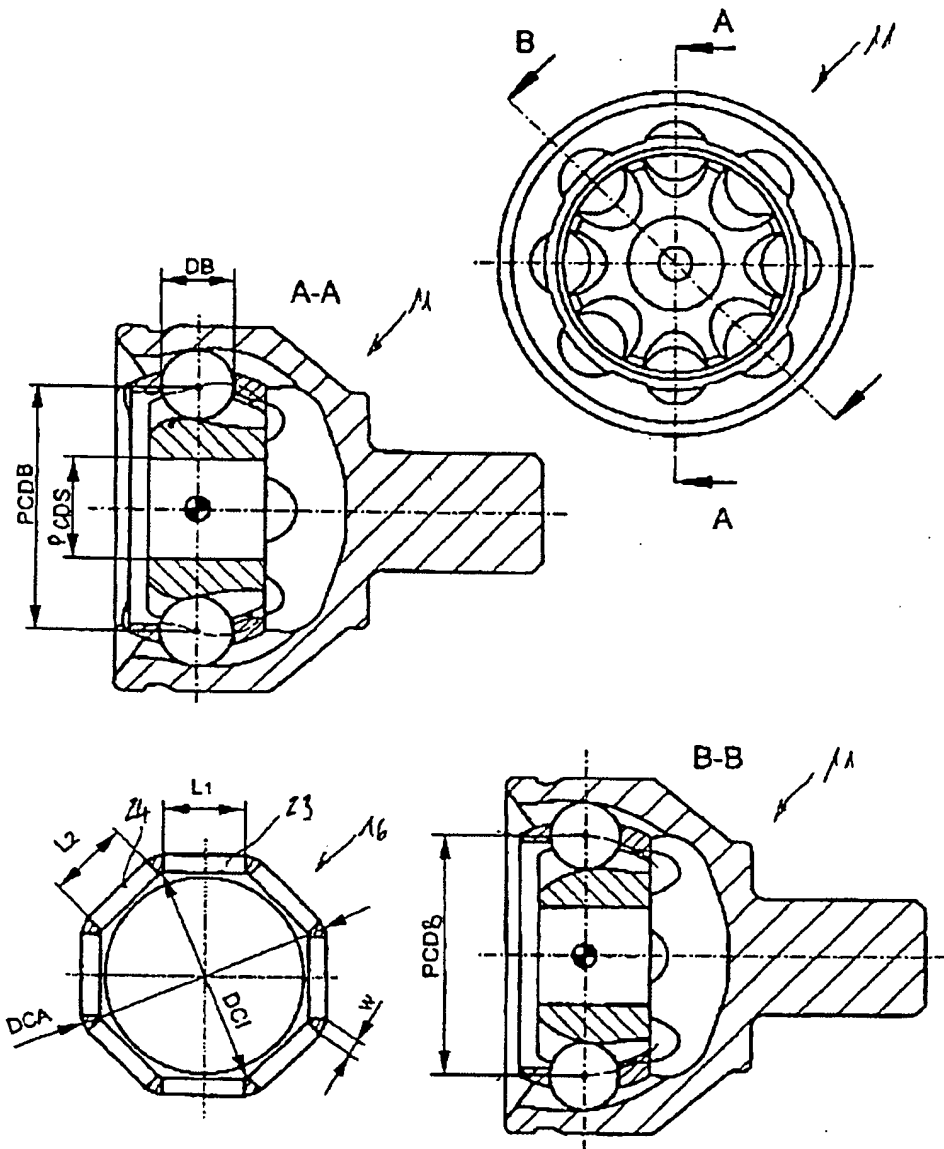


Fig. 18

BEST AVAILABLE COPY

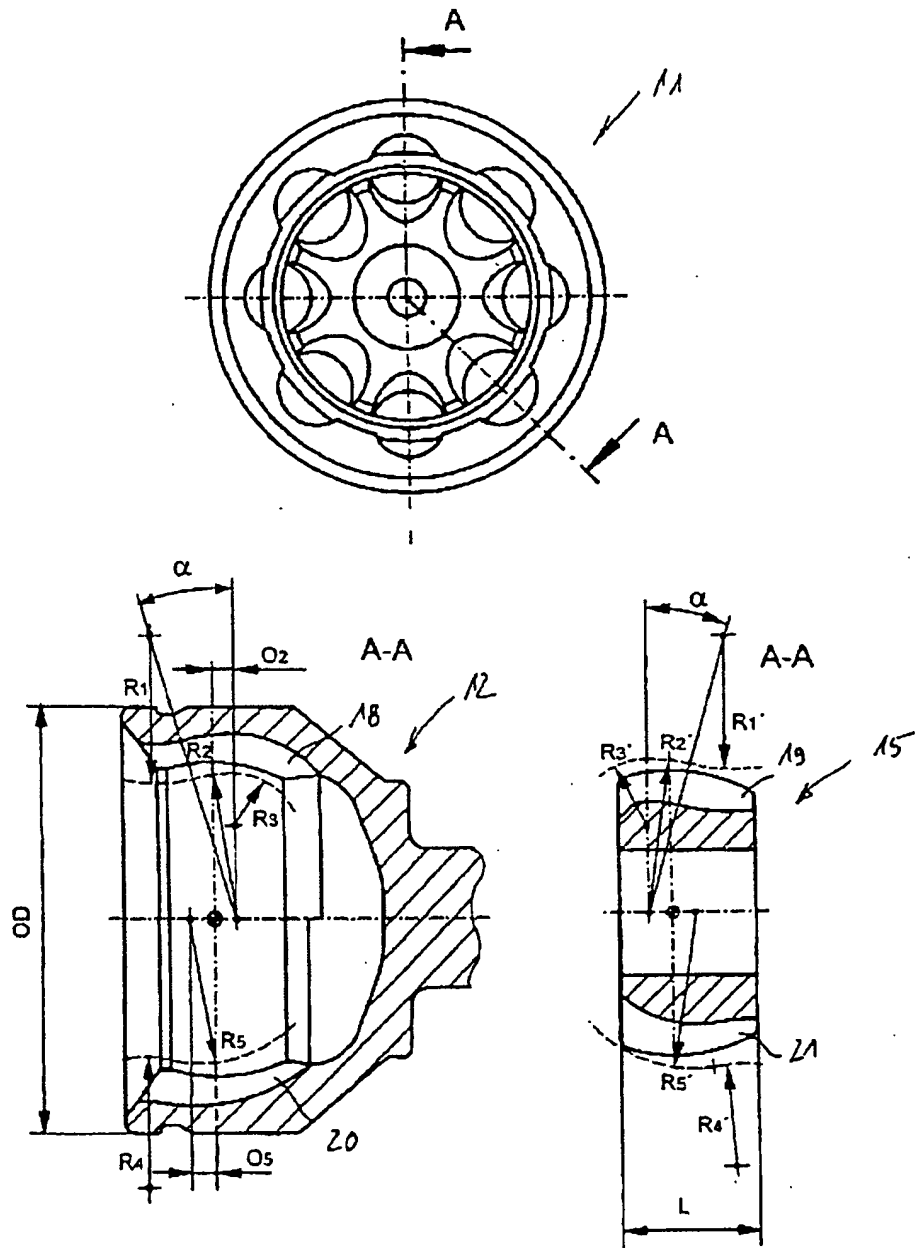


Fig. 19

BEST AVAILABLE COPY

Fig. 20

